

УДК 541.128 : 615.7 : 681.142.36

ФИЗИЧЕСКАЯ ХИМИЯ

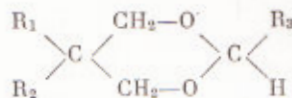
Академик АН ЛатвССР С. А. ГИЛЛЕР, А. Б. ГЛАЗ,  
Л. А. РАСТРИГИН, А. Б. РОЗЕНБЛIT

**РАСПОЗНАВАНИЕ ФИЗИОЛОГИЧЕСКОЙ АКТИВНОСТИ  
ХИМИЧЕСКИХ СОЕДИНЕНИЙ НА ПЕРЦЕНТРОНЕ  
СО СЛУЧАЙНОЙ АДАПТАЦИЕЙ СТРУКТУРЫ**

Из-за отсутствия достаточных знаний о геометрическом и электронном соответствии действующего соединения со строением активного центра фермента, ответственного за проявление физиологической активности, взаимосвязь между структурой химического соединения и его биологическими свойствами устанавливается в настоящее время, в основном эмпирическим путем. Известны попытки, например (1, 2), установить корреляции между физико-химическими параметрами и физиологической активностью. Из-за сложного характера этой взаимосвязи полученные уравнения регрессии обладают низкой статистической достоверностью и малой прогнозирующей способностью.

В работе И. И. Иоффе с сотрудниками (3) предложено применить для предсказания некоторых свойств химических соединений, например активности катализаторов, методы теории распознавания образов. Однако в качестве признаков в этой работе использовались лишь физико-химические параметры, большинство из которых может быть найдено только в результате тщательного экспериментального исследования уже синтезированного вещества.

В настоящей работе нами впервые предпринимается попытка предсказания физиологической активности неисследованного в этом отношении вещества непосредственно по структуре молекулы, исходя из известных данных об этой активности в ряду близких по строению соединений. Это сделано на примере ряда алкил- и алкоксиалкилзамещенных 1,3-диоксанов (4). Рассматриваемые соединения представляются общей структурной формулой



и могут существовать в форме цис- и транс-изомеров. По виду заместителей рассматриваемый ряд распадается на 4 группы: 2,5-диалкил-1,3-диоксаны; 2,5-диалкил-5-алкоксиметил-1,3-диоксаны; 2,5-диалкил-5- $\alpha$ -алкоксиэтил-1,3-диоксаны и 2,5-диалкил-5- $\beta$ -алкоксиэтил-1,3-диоксаны.

Задача распознавания в данном случае может быть сформулирована как классификация соединений по физиологической активности в зависимости от вида радикалов и изомерии диоксанового кольца. В качестве критерия классификации принят антагонизм с коразолом. Соединения, обладающие соответствующей активностью, относятся к первому классу, а соединения, не обладающие активностью, — ко второму.

**Кодирование.** Структурная формула каждого радикала может быть представлена сочетаниями из 5 простейших структурных компонентов: O, H, CH, CH<sub>2</sub>, CH<sub>3</sub>. Для кодирования каждого из этих компонентов на сетчатке перцентрона отводилось по 3 рецептора, а для кодирования цис- и транс-изомерии — 2 рецептора (см. табл. 1). Связи между компонентами не кодировались, так как они однозначно определялись видом со-

седних компонентов. На рис. 1 приведены примеры кодирования некоторых радикалов на сетчатке. Как видно, для кодирования радикалов  $R_1$  отведено 3 строки, а для радикалов  $R_2$  и  $R_3$  по 2 строки. В действительности, в целях экономии элементов сетчатки, строки располагались последовательно. Размер сетчатки был выбран равным  $8 \times 8 = 64$ .

**Эксперимент.** Для решения данной задачи на ЭЦВМ «Минск-22» моделировался трехслойный перцентрон с сетчаткой  $S = 64$  рецептора и числом ассоциативных элементов, равным 100. Каждый элемент имел 5 входов, из них 3 входа для возбуждающих и 2 для тормозящих связей с сетчаткой. Исходная конфигурация  $S - A$ -связей выбиралась случайным образом. Порог  $\theta$  каждого  $A$ -элемента принимался равным 1. Из 46 приведенных в (4) соединений одна часть выбиралась для составления обучающей последовательности,

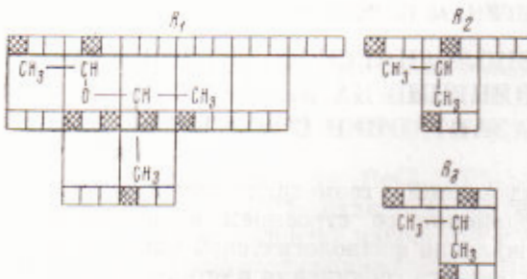


Рис. 1. Кодирование радикалов  $R_1$ ,  $R_2$  и  $R_3$  на сетчатке

причем в нее входили представители всех 4 групп названных выше соединений, а оставшаяся часть использовалась только для экзамена.

Для обучения перцентрона использовались следующие алгоритмы:

1. Алгоритм Розенблatta ( $\alpha$ -система подкрепления с коррекцией ошибок) (5).

Таблица 1

Кодирование компонентов структурной формулы

№	1-й рецептор	2-й рецептор	3-й рецептор	Компонент или изомер	Вид на сетчатке
0	0	0	0	Нуль	
1	0	0	1	Н	
2	0	1	0	CH	
3	0	1	1	CH <sub>2</sub>	
4	1	0	0	CH <sub>3</sub>	
5	1	0	1	0	
6	1	1	0	—	
7	1	1	1	—	
1	0	0	—	цис	
2	1	1	—	транс	

2. Алгоритм Розенблата в комбинации с алгоритмом случайного поиска (6) конфигураций  $S - A$ -связей тех  $A$ -элементов, которые не удовлетворяют заданным требованиям. Суть этого алгоритма заключается в следующем.

Перцентрону с исходной случайной конфигурацией  $S - A$ -связей предъявляется обучающая последовательность и проводится обучение по

алгоритму Розенблатта. После этого обучающая последовательность предъявляется для экзамена и определяется показатель качества для данной конфигурации  $S - A$ -связей — число неправильных ответов перцептрона, а для каждого  $A$ -элемента определяется также число правильных ответов. Если величина показателя качества оказывается больше заданной, делается первый шаг поиска: для  $A$ -элементов, у которых число правильных ответов меньше некоторого порога  $\beta$ , случайным образом перестраиваются их связи с сетчаткой. После этого снова проводится обучение по Розенблатту и, в случае необходимости, делается новый случайный шаг поиска. Обучение продолжается до тех пор, пока величина показателя качества не станет равной или меньше заданной, или все  $A$ -элементы не будут давать число правильных ответов больше порога  $\beta$ . После этого проводится экзамен, но уже на экзаменационной последовательности.

Результаты эксперимента \*

Таблица 2

Длина обучающей последовательности	Обучающая последовательность		Экзаменационная последовательность	
	алгоритм Розенблатта	комбинированный алгоритм	алгоритм Розенблатта	комбинированный алгоритм
$n_1 = 22$	65	86	49	69
	17	7	27	10
$n_2 = 24$	66	89	51	71
	16	6	21	13
$n_3 = 26$	68	85	57	76
	14	5	22	9

\* Числа над чертой — процент правильных ответов, под чертой — длина доверительного интервала.

**Результаты эксперимента.** Было выбрано три различных обучающих последовательности с числом объектов  $n_1 = 22$ ,  $n_2 = 24$ ,  $n_3 = 26$ . Для каждой из них выбиралось по одному значению порога  $\beta$  и проводилось 10 независимых экспериментов. Осредненные результаты и доверительные интервалы, соответствующие доверительной вероятности 0,95, приведены в табл. 2. Как видно из табл. 2, значительно более эффективным является комбинированный алгоритм со случайной адаптацией структуры  $S - A$ -связей.

Полученные результаты дают основания считать перспективным кибернетический подход к проблеме прогнозирования физиологической активности свойств органических соединений.

Институт органического синтеза  
Академии наук ЛатвССР

Поступило  
15 IV 1971

Институт электропирами и вычислительной техники  
Академии наук ЛатвССР  
Рига

#### ЦИТИРОВАННАЯ ЛИТЕРАТУРА

- <sup>1</sup> C. Hansch, Farmaco, 23, 4, 293 (1968). <sup>2</sup> W. R. Purcell, John M. Clau-ton, J. Med. Chem., 11, 2, 199 (1968). <sup>3</sup> И. И. Иоффе, В. С. Федоров и др., ДАН, 189, № 6, 1290 (1969). <sup>4</sup> А. В. Богатский, Ю. И. Вихляев и др., Хим.-фармацевтич. журн., 2, 9, 3 (1968). <sup>5</sup> Ф. Розенблattt, Принципы нейродинамики, М., 1965. <sup>6</sup> Л. А. Растигии, Статистические методы поиска, М., 1968.